



광합성 섬모류 *Mesodinium rubrum* MR-MAL01의 응용성 (1) 이매파류 종묘생산을 위한 먹이생물 유용성

김형섭¹ · 명금옥 · 조수근² · 이원호*

¹군산지방해양수산청, 군산대학교 해양정보과학과, ²군산대학교 해양생명과학부

Applicability of a Photosynthetic Ciliate, *Mesodinium rubrum* MR-MAL01 -Usefulness as a Live Prey Species for the Marine Aquaculture of Bivalves-

Hyung-Seop Kim¹, Geumog Myung, Soo-Gun Jo² and Wonho Yih*

Department of Oceanography, Kunsan National University, Kunsan 573-701, Korea

¹Kunsan Regional Maritime Affairs and Fisheries Office, Kunsan 573-030, Korea

²Faculty of Marine Living Resources, Kunsan National University, Kunsan 573-701, Korea

In a series of feeding experiments using the newly established the first laboratory strain of a temperate photosynthetic ciliate, *Mesodinium rubrum* MR-MAL01, direct evidence was obtained for ingestion of the cultured *M. rubrum* cells by the bivalves like the Korean scallop, *Chlamys farreri* and Manila clam, *Ruditapes philippinarum*. Each experimental Korean scallop and Manila clam removed up to 9,590 and 23,200 cells min⁻¹, respectively. Small particles almost identical to the ruptured cells of MR-MAL01 culture were observed in the gut of the experimental bivalves, although no intact *M. rubrum* cell was found. In a 28 days rearing experiment, *Isochrysis galbana* (KMCC H-2), a microalga, supported better growth of small Manila clam spat (0.46 mm in shell length) than MR-MAL01 strain. For the large Manila clam spat (0.84 mm in shell length), however, MR-MAL01 strain was a better prey item. Mass culture methods for this photosynthetic marine ciliate may be developed for use as live feed in aquaculture of the spat and broodstock of bivalve and small-mouthed fish larvae.

Keywords: Photosynthetic ciliate, Live prey, Korean scallop, Manila clam

서 론

해양 섬모류인 *Mesodinium rubrum* Lohmann 1908 (=*Myrionecta rubra* Jankowski 1976)은 정기적 또는 부정기적으로 은편모류를 섭식한 후, 이들 은편모류의 세포기관을 이용하여 광합성을 하는 chimaera 생물이다(Gustafson et al., 2000; Yih et al., 2003). 이 섬모류는 범세계종으로 세계의 여러 해역에서 적조를 일으키며(Lindholm, 1985; 1992), 특히 북극(Putt, 1990) 및 남극(Satoh and Watanabe, 1991; Stoecker et al., 1992)에서도 적조발생이 보고되고 있다. 적조발생 기간 동안의 일차생산력과 Chlorophyll-a 값은 다른 해양 식물플랑크톤 적조에 비해 높은 것으로 알려져 있고(Lindholm, 1985; Crawford, 1989), 적조를 일으키지 않더라도 해양생태계에서 일차생산자로 먹이망 및 탄소순환에 중요한 역할을 담당하고 있다(Crawford, 1989). 특히 우리나라에서는 제주도 해역에서도 계절적 우점종으로 등장하며(Yoon et

al., 1991), 주로 하구 및 부영양화된 내만에서 대발생하여 적조를 일으키고 있다(NFRDI, 1997).

M. rubrum 적조발생시 광합성과 호흡에 의해 용존산소의 변화가 극심하게 나타나(Soulsby et al., 1984; Hayes et al., 1989; Lindholm and Mork, 1990), 용존산소의 과포화 또는 부족으로 수산동물의 가스병과 질식사의 이차적인 영향을 줄 가능성이 있다(Martin et al., 2000). 세포체 분해시 수질을 악화시켜 넓은 지역에 걸쳐 다른 생물에 영향을 줄 수도 있고(Horstmann, 1981), 독성을 가진 세균이 *M. rubrum* 적조발생시 출현할 수도 있다(Romalde et al., 1990). 비록 *M. rubrum* 자체의 독성물질 배출에 의한 직접적인 피해는 없으나(Lindholm, 1992), 매우 낮은 수준의 연어류 폐사가 있었다는 보고(Martin et al., 2000)도 있다. 특히 적조가 발생된 지역에 서식하는 굴류(Clemens, 1935; Kat, 1984)와 담치류 및 가리비류(Carver et al., 1996)의 소화관이 붉은 색으로 변하기도 하였다. 그러나 *M. rubrum*은 멸치류와 같은 어류의 자치어가 직접 섭식할 수 있는 충분한 크기가 되고(Jimenez and Intriago, 1987), 다양한 해양 동물플랑크톤의

*Corresponding author: ywonho@kunsan.ac.kr

먹이로도 이용될 수 있어(Packard et al., 1978; Lindholm, 1985) 해양동물에 유용한 생물일 가능성이 있다.

Yih and Shim (1997)은 *M. rubrum*을 실험실에서 쉽게 배양·유지할 수 있다면 이 섬모류의 생물학적 특성을 활용하여 해양 생물공학적으로 다양하게 이용할 수 있는 이상적인 생물로 인식하였다. 그러나 세포막이 매우 연약하여 쉽게 파열되므로 많은 연구자들이 이 종의 배양에 어려움을 겪었다(Crawford and Lindholm, 1997). 따라서 이 종의 기본적인 생활사, 생리·생화학적 특성 등에 대한 정보는 매우 단편적일 수 밖에 없다. 최근 남극에서 분리한 *M. rubrum* 배양체가 보고되었으나(Gustafson et al., 2000), 성장률이 매우 낮아 다양한 분야에 활용할 수 없다는 단점이 있다. 그러나 서해의 곰소만에서 채집한 시료로부터 최초의 온대역 *M. rubrum* 배양체 MR-MAL01가 확립되어 이를 이용한 다양한 연구가 진행되고 있으나(Kim, 2002; Kim et al., 2003), 지금까지 *M. rubrum* 종주를 먹이생물로 이용하기 위한 연구보고는 찾기 어렵다.

본 연구에서는 서식형태가 서로 다른 비단가리비와 바지락을 대상으로 이들 이매패류가 섬모류인 *M. rubrum*을 섭식한다는 것을 직접 확인한 후, 두 종의 최대 섭식률을 측정하고, 인공 종묘생산된 바지락 치폐를 대상으로 살아있는 *M. rubrum*을 장기간 지속적으로 공급하여 이 종을 먹이원으로 한 치폐의 성장효과를 분석하였다. 이러한 연구를 통하여 이매패류 인공 종묘생산시 *M. rubrum* 종주를 새로운 먹이생물로 이용하기 위한 필수적인 기초자료를 확보하고자 하였다.

재료 및 방법

먹이생물로 이용된 광합성 섬모류 *Mesodinium rubrum* MR-MAL01은 서해의 곰소만에서 분리한 섬모류로, 온도 15°C, 염분 30 ppt, 광량 $60 \mu\text{E m}^{-2} \text{s}^{-1}$ 의 항온·항광 배양실에서 f/2 배양액을 첨가하여 계대배양한 종주를 사용하였다. *M. rubrum*의 크기와 용적은 Table 1과 같다.

섭식자로서 비단가리비, *Chlamys farreri*와 바지락, *Ruditapes*

*philippinarum*을 이용하여 다음의 두 가지 실험을 실시하였다. 첫 번째 실험은 각각 3 cm 전후의 비단가리비와 바지락을 이용하여 이들의 *M. rubrum* 섭식여부 및 최대 섭식률을 계산하였고, 두 번째 실험은 바지락 치폐의 크기에 따른 *M. rubrum*의 먹이효과를 확인하기 위해 수행되었다(Table 2).

첫 번째 실험에 사용된 비단가리비와 바지락(Table 2)은 전라북도 부안 연안의 폐류 양식어장에서 채집하여 실험실로 옮긴 후, 20 L 수조에서 각각의 실험조건으로 2일 동안 적응시켰다. 섭식자인 비단가리비와 바지락은 실험시작 3시간 전에 1 L 플라스틱 용기에 2, 5, 10 개체를 수용하여 순응시켰고, 대조구로 섭식자를 수용하지 않고 *M. rubrum* 만을 공급하였다. 비단가리비는 15°C에서, 바지락은 20°C에서 24시간 동안 섭식실험을 하였다. 먹이생물인 *M. rubrum*의 초기농도는 비단가리비 $4,000 \text{ cells ml}^{-1}$, 바지락 $3,500 \text{ cells ml}^{-1}$ 로 하였다. 시간대별(0, 1, 2, 4, 8, 12, 24시간)로 사용용기의 해수를 수집하여 Lugol 용액으로 고정하고 먹이생물 농도를 계수하였다. 실험은 반복 구로 공기를 주입하면서 실시하였고, 염분은 30 ppt로 조절하였으며, 광량 $60 \mu\text{E m}^{-2} \text{s}^{-1}$ 조건에서 연속광으로 하였다.

이매패류가 실제로 *M. rubrum*을 섭식하였는지를 증명하기 위해 염분 30 ppt, 온도 20°C 하에서 먹이농도를 $85,400 \text{ cells ml}^{-1}$ 로 하여 배양실험을 행한 후, 2시간이 경과된 다음에 비단가리비를 꺼내 소화관을 절개한 다음, 내용물을 광학현미경(Olympus BX-50)으로 관찰하였다.

두 번째 실험은 인공 종묘생산된 바지락 치폐를 대상으로 하였으며(Table 3), 100 ml PE 용기를 이용하여 작은 크기의 치폐(각각 $0.46 \pm 0.01 \text{ mm}$)는 30개체, 큰 크기의 치폐(각각 $0.84 \pm 0.02 \text{ mm}$)는 20개체를 각각 수용하였다. 치폐의 먹이생물은 이매패류 종묘생산시 폭넓게 이용되는 *Isochrysis galbana* (KMCC H-2)를 공급하여 *M. rubrum*과 비교하였다. 먹이생물의 실험농도는 *I. galbana*의 경우 $1 \times 10^5 \text{ cells ml}^{-1}$ 이었고, *M. rubrum*의 경우 $1 \times 10^2 \text{ cells ml}^{-1}$, $1 \times 10^3 \text{ cells ml}^{-1}$, $1 \times 10^4 \text{ cells ml}^{-1}$ 이었다. 각각의 먹이농도 실험구에서 매일 일정량을 표본 채수하여 먹이생물을 계수한 다음, 소비된 만큼의 먹이생

Table 1. Dimension of a live prey *Mesodinium rubrum* used in the feeding experiments

| Prey species | Strain name | ESD* (μm) | Cell volume* (μm^3) | Sampling locality & date |
|--------------------------|-------------|------------------------|----------------------------------|--------------------------|
| <i>Mesodinium rubrum</i> | MR-MAL01 | 22.0 ± 0.04 | $5,996 \pm 30.0$ | Gomso Bay May 31, 2001 |

*Equivalent spherical diameter (ESD) and cell volume (mean \pm SE) were measured by the Coulter Multisizer II electronic particle counter (Coulter Corporation, USA).

Table 2. Maximum ingestion rates of two predators, Korean scallop, *Chlamys farreri* and Manila clam, *Ruditapes philippinarum* fed *Mesodinium rubrum* under the conditions of continuous illumination ($60 \mu\text{E m}^{-2} \text{s}^{-1}$) and 30 ppt for 24 h

| Bivalve predator | Shell length (mm, mean \pm SE) | Temperature (°C) | Initial prey density (cells ml^{-1}) | Max. ingestion rate ($\text{cells min}^{-1} \text{ predator}^{-1}$) |
|------------------|----------------------------------|------------------|---|---|
| Korean scallop | $28.8 \pm 0.3 \text{ (N=34)*}$ | 15 | 4,000 | 9,587 |
| Manila clam | $31.9 \pm 0.3 \text{ (N=34)*}$ | 20 | 3,500 | 23,172 |

*N=number of bivalve predators

Table 3. Survival (%) of two different size classes of Manila clam spat fed the different species and densities of prey organisms under the conditions of continuous illumination ($60 \mu\text{E m}^{-2} \text{s}^{-1}$), 20°C and 30 ppt for 28 days

| Spat size (mm, mean \pm SE) | Live prey | | | |
|--------------------------------------|--|---|---|---|
| | <i>I. galbana</i> ($1 \times 10^5 \text{ cells ml}^{-1}$) | <i>M. rubrum</i> ($1 \times 10^2 \text{ cells ml}^{-1}$) | <i>M. rubrum</i> ($1 \times 10^3 \text{ cells ml}^{-1}$) | <i>M. rubrum</i> ($1 \times 10^4 \text{ cells ml}^{-1}$) |
| Small ($N=30^*$, 0.46 ± 0.01) | 93.3 | 60.0 | 76.7 | 83.3 |
| Large ($N=20$, 0.84 ± 0.02) | 100 | 100 | 100 | 100 |

*N=number of bivalve spat

물을 공급하여 농도를 일정하게 유지시켜 주었고, 4일 간격으로 전량 환수하였다. 섭식실험은 20°C, 30 ppt에서 28일간 광량 $60 \mu\text{E m}^{-2} \text{s}^{-1}$ 의 연속광 조건에서 실시하였고, 공기는 주입하지 않았다. 실험종료 후 생존한 모든 개체의 각장을 측정하여 ANOVA-test를 실시하고, Duncan's multiple range test ($P<0.05$)로 평균간의 유의성을 검정하였으며, 생존율을 계산하였다.

결 과

비단가리비 및 바지락의 섭식률

섭식자로 비단가리비를 사용한 실험에서(Fig. 1A), 1시간 후의 먹이농도는 초기 농도에 비해 2개체 수용구에서는 19.2%, 5개체 수용구에서는 73.1%, 10개체 수용구에서는 94.6%가 감

소하였다. 처음의 먹이농도가 5% 미만으로 줄었던 시간은 5개체 및 10개체 수용구에서 2시간이 경과된 후였고, 2개체 수용구에서는 8시간 후였다. 반면에 섭식자가 없는 대조구에서는 24시간 후 처음의 먹이농도에 비해 약 20%가 줄었다.

바지락을 섭식자로 사용한 실험에서(Fig. 1B), 1시간 후의 먹이농도는 2개체 수용구에서 83.9%, 5개체 수용구에서 97.5%, 10개체 수용구에서 99.5%로 비단가리비에 비해 급격히 감소하였다. 4시간 후에 모든 실험구에서 먹이생물인 *M. rubrum*이 전혀 관찰되지 않았던 반면, 섭식자가 없는 대조구에서는 24시간 후 약 20% 만이 감소하였다.

각각의 실험구에서 1시간 후에 감소된 먹이생물의 농도에서 대조구의 감소된 먹이생물 농도를 뺀 최대 섭식률을 계산하면, 비단가리비는 개체 당 $9,587 \text{ cells min}^{-1}$, 바지락은 개체 당 $23,172 \text{ cells min}^{-1}$ 로 나타났다(Table 2).

비단가리비가 먹이생물인 *M. rubrum*을 실제로 섭식하였는지를 확인하기 위한 실험에서, 처음의 *M. rubrum* 농도 $85,400 \text{ cells ml}^{-1}$ 는 20°C에서 2시간 후에 $28,800 \text{ cells ml}^{-1}$ 로 감소하였다. 절개된 비단가리비의 아가미에서 붉은 색의 입자를 관찰할 수 있었으며, 소화관을 적출하여 현미경 하에서 관찰한 결과, 완전한 형태의 *M. rubrum*은 확인할 수 없었다. 그러나 소화관 내에 *M. rubrum*의 먹이인 은편모류 색소체와 같은 형태의 입자가 가득 차 있었으나(Fig. 2ⓐ-ⓑ), 소화관이 붉게 염색되지는 않았다. 특히 소화관 내에 있던 입자는 세포막이 매우 약한 *M. rubrum*이 슬라이드글라스 상에서 파괴되었을 때 남아 있던 색소체(Fig. 2ⓒ)와 매우 유사하게 나타나 *M. rubrum*을 직접 섭식한 것으로 판단된다.

바지락 치폐의 성장 효과

인공 종묘생산된 바지락 치폐를 크기에 따라 2그룹으로 나누어, *I. galbana*와 *M. rubrum*을 다양한 농도로 공급하여 28일간 실험한 결과를 Fig. 3에 나타내었다. 작은 크기의 치폐 그룹(각장 0.46 mm)에서 최종 성장은 *I. galbana*를 공급한 실험구에서 각장 1.31 mm로 가장 좋았으며, *M. rubrum*을 공급한 실험구의 최종 성장에 비해 유의적인($P<0.05$) 차이가 있었다(Fig. 3A). 그러나 먹이생물인 *M. rubrum*을 각각 다른 농도로 공급한 경우, 최종 성장은 가장 높은 농도로 공급한 실험구($1 \times 10^4 \text{ cells ml}^{-1}$)에서 0.87 mm였고, 먹이생물의 농도가 증가할 수록 성장이 증가하였다.

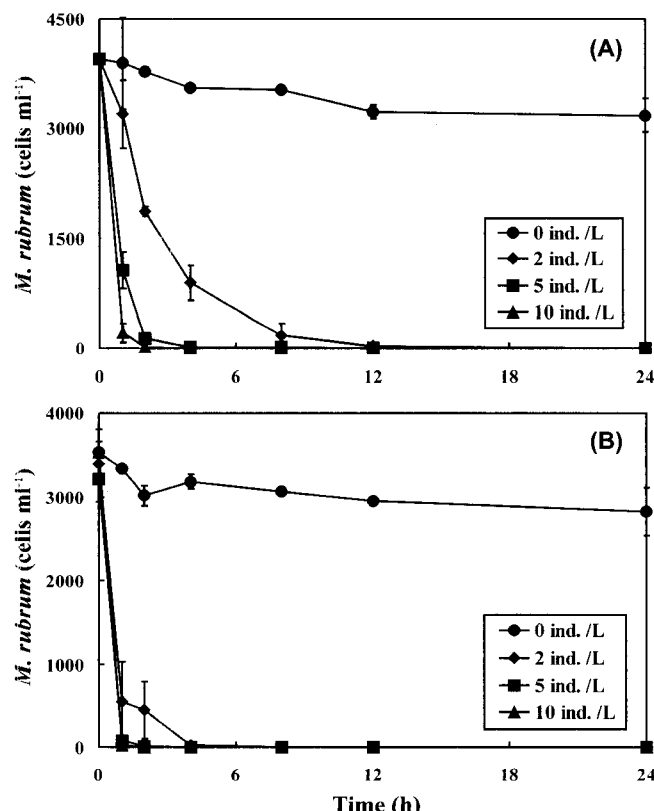


Fig. 1. Changes of *M. rubrum* prey concentrations under different predation intensities of Korean scallop (A) and Manila clam (B). Vertical lines indicate standard error (SE).



Fig. 2. Gut contents of Korean scallop fed *Mesodinium rubrum* prey (Ⓐ and Ⓑ) and bursted *Mesodinium rubrum* MR-MAL01 cells on a slide glass (Ⓒ) are quite similar to each other (Ⓐ : $\times 100$, Ⓑ and Ⓒ : $\times 400$).

큰 크기의 치폐 그룹(각장 0.84 mm)에서는 *M. rubrum*을 가장 높은 농도(1×10^4 cells ml^{-1})로 공급한 실험구에서 각장 3.87 mm로 가장 좋은 성장을 보였고, 먹이생물의 농도가 감소할 수록 성장이 낮았으며, *I. galbana*를 공급한 실험구에서 각장 3.47 mm로 가장 저조한 성장을 보였다(Fig. 3B). 그러나 모든 실험구에서 최종 성장은 유의적인 차이가 없었다($P>0.05$).

바지락 치폐의 최종 생존율을 보면(Table 3), 작은 치폐 그룹에서 *I. galbana*를 공급한 실험구가 가장 높은 93.3%를 보여 *M. rubrum*을 공급한 실험구에 비해 높게 나타났고, *M. rubrum*을 각각의 농도별로 공급한 실험구에서는 먹이생물의 농도가 높을 수록 높은 생존율을 나타냈다. 또한 큰 치폐 그룹에서는 모든 실험구에서 치폐가 전량 생존하여 100%를 기록하였다.

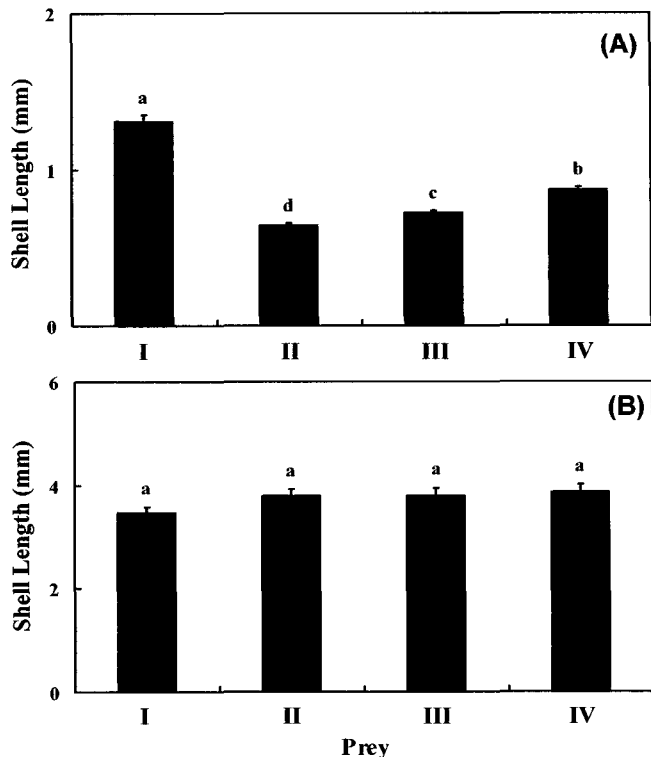


Fig. 3. Final growth of small spat (A) and large spat (B) of Manila clam under different species and densities of prey for 28 days (I: *I. galbana* 1×10^5 cells ml^{-1} , II: *M. rubrum* 1×10^2 cells ml^{-1} , III: *M. rubrum* 1×10^3 cells ml^{-1} , IV: *M. rubrum* 1×10^4 cells ml^{-1}). The values on bars with a different letter are significantly different ($P<0.05$). Vertical lines indicate standard error (SE).

고 칠

우리나라 서해의 곰소만에서 분리한 최초의 온대역 *M. rubrum* 배양체인 MR-MAL01 (Table 1)을 이매파류 먹이생물로서의 활용 가능성을 실험하였다. 각장 3 cm 전후의 비단가리비와 바지락(Table 2)을 각각 10개체 L^{-1} 로 수용하여 먹이생물로 *M. rubrum*을 공급한 결과, 1시간 후 초기농도에 비해 비단가리비 94.6%, 바지락 99.5%가 소비되어 이를 이매파류에 의해 매우 빠르게 섭식되었음을 확인하였고(Fig. 1), 1시간 후 개체당 최대 섭식률은 비단가리비 $9,587$ cells min^{-1} , 바지락 $23,172$ cells min^{-1} 로 나타났다(Table 2).

Kat (1984)는 굴류에서, Carver et al. (1996)은 담치류와 가리비류에서 소화관이 붉게 변한 것은 *M. rubrum*의 섭식에 의한 것으로 판단하였다. 본 연구에서 비단가리비에 고밀도의 *M. rubrum*을 2시간 동안 공급한 후 해부하였을 때, 소화관이 붉게 변한 것은 확인하지 못하였으나 아가미에서 붉은 색 입자를 발견할 수 있었고, 소화관 내용물 중 *M. rubrum*의 색소체로 여겨지는 입자를 발견할 수 있어(Fig. 2), *M. rubrum*을 섭식한 것으로 결론지을 수 있었다. 이러한 결과는 Carver et al. (1996) 이분광광도계 및 형광현미경을 이용해 소화관을 분석한 결과와 같은 것으로, 이매파류가 *M. rubrum*을 잘 섭식할 수 있는 것

으로 여겨진다.

이매패류의 성공적인 인공 종묘생산을 위한 과제 중의 하나가 먹이생물을 안정적이고 지속적으로 공급하는 것이다. 즉, 계절에 따른 심한 온도변화 및 집중호우가 빈발하는 우리나라의 경우, 이매패류 종묘생산시 사용되는 먹이생물은 이러한 환경 변화에 강할 뿐만 아니라 대량배양이 가능해야 한다. 그러나 현재 우리나라에서 이매패류 인공 종묘생산시 사용되는 먹이생물은 착편모류인 *Isochrysis galbana*와 *Pavlova lutheri*, 규조류인 *Chaetoceros calcitrans*, 녹조류인 *Nannochloropsis oculata*, 담녹조류인 *Tetraselmis suecica* 등(Na et al., 1995; Son et al., 1998; Yang et al., 2001; Lee et al., 2002)으로 주로 외국에서 분양 받아 사용하는 종이기 때문에 우리나라의 환경여건에는 잘 맞지 않는다(Park and Hur, 2000).

*M. rubrum*은 수온과 염분변화에 대한 내성이 매우 큰 종으로 수온 0~24°C 범위에서 적조를 일으킨 기록이 있고(Lindholm, 1985), Satoh and Watanabe (1991)는 남극의 수온 -1.6°C와 염분 7 ppt의 극한 환경에서도 적조발생을 관찰하였다. 또한 우리나라에서는 금강 하구역과 같이 염분의 변화가 극심한 경우에서도 관찰되었으며(Kim, 2002), 1990년부터 1996년까지 적조발생 기록을 보면 5~12월까지 적조가 발생하였고, 7월에 적조발생 빈도가 가장 많았다(NFRDI, 1997).

이러한 결과를 종합해 보면 *M. rubrum*은 수온과 염분변화에 매우 강한 종으로 판단되고, 본 연구에 이용된 *M. rubrum* MR-MAL01 strain은 염분범위 10~30 ppt에서 잘 자라며, 이중 10 ppt에서 가장 높은 생물량을 기록하였다(Myung, 2004). 또한 적조발생시 해수 단위 부피 당 일차생산량과 chlorophyll-a 값은 다른 해양 식물플랑크톤 종들에 비해 월등히 높은 것으로 알려져 있으므로(Lindholm, 1985; Crawford, 1989; Stoecker et al., 1991) 대량의 고농도 배양이 용이할 것으로 판단된다.

바지락 치패의 크기를 2그룹(각장 0.46±0.01 mm와 0.84±0.02 mm)으로 나누어 *I. galbana*와 *M. rubrum*을 각각 농도를 달리하여 성장을 비교한 실험에서, 작은 크기 그룹(각장 0.46±0.01 mm)에서는 *I. galbana*를 공급한 실험구가 *M. rubrum*을 공급한 실험구보다 유의적으로 성장 및 생존율이 높았던 반면, 큰 크기의 그룹(각장 0.84±0.02 mm)에서는 모든 실험구에서 성장 차이가 없었으나, *M. rubrum*의 농도가 높을 수록 성장이 좋은 것으로 나타났다(Fig. 3). 특히 작은 크기 그룹에서 치패의 흡입력이 약해 *M. rubrum*이 입수공으로부터 도파하는 것을 현미경으로 관찰하였다. 이러한 결과로 미루어볼 때, 각장 0.5 mm 이하의 바지락 치패는 *M. rubrum*을 섭식하는데 제한을 받으며, 적어도 각장 0.8 mm 이상의 치패는 섭식이 용이할 것으로 판단된다.

따라서 이매패류 인공 종묘생산시 적어도 1 mm 이하의 치패 단계까지는 기존의 크기가 작은 *I. galbana*, *P. lutheri*, *N. oculata* 등을 공급하고, 그 이상의 크기에서는 *M. rubrum*을 공급한다면 매우 효과적일 것으로 판단되므로, 기존의 이매패류 종묘생산을 위한 먹이계열에 *M. rubrum*이 새로운 먹이생물로

서 추가될 수 있을 것이다.

*M. rubrum*은 보통 길이가 15~70 μm 정도이며(Taylor et al., 1971), 계절에 따라 평균 크기가 다르다(Montagnes and Lynn, 1989). 또한 Jimenez and Intriago (1987)는 *M. rubrum*이 어류자치어가 직접적으로 섭식할 수 있는 충분한 크기가 된다고 보고하였다. 본 연구진은 이전의 예비실험에서 넘치, *Paralichthys olivaceus*의 후기 자어와 대하, *Penaeus chinensis*의 zoea 단계에 *M. rubrum*을 먹이생물로 공급하였으나 이들이 섭식하는 것을 관찰하지 못하였다. 그러나 자어의 입 크기가 작은 짱뚱어, *Boleophthalmus pectinirostris*와 동갈듯돔, *Hapalogrenys nitens*은 *M. rubrum*을 섭식하는 것을 관찰하였다(unpublished). 따라서 입 크기가 작은 능성어, 전어, 쥐치 등의 종묘생산시 rotifer, *Brachionus plicatilis*를 공급하기 전까지 물만들기(red water)처럼 *M. rubrum*을 이용한다면(Nass et al., 1992; Reitan et al., 1993) 매우 효과적일 것이므로 이에 대한 보충적인 연구가 요구된다. 또한 *M. rubrum*의 영양분석을 통해 rotifer의 영양강화제(Merchie et al., 1995; Reitan et al., 1997)로 이용하거나, *M. rubrum* 색소체의 색소성분을 고려하여 송어류(Foss et al., 1984)와 잉어류(Matsuno et al., 1979)의 체색변화를 위한 새로운 착색제로도 활용할 수 있음을 제안한다.

요 약

최근, 곰소만에서 채집한 시료로부터 최초의 온대역산 광합성 섬모류 *Mesodinium rubrum* MR-MAL01 배양체를 분리·배양하였다. 이 섬모류를 이용하여 이매패류의 섭식실험을 수행한 결과, 비단가리비와 바지락과 같은 이매패류가 섬모류를 직접 섭식하였음을 확인하였는데, 개체 당 최대 섭식률은 비단가리비 9,590 cells min⁻¹, 바지락 23,200 cells min⁻¹으로 나타났다. 또한 비단가리비의 소화관에서 완전한 *M. rubrum* 세포를 확인하지 못했으나, 파괴된 세포로 생각되는 작은 입자들을 관찰하였다. 바지락 치패에 섬모류인 *M. rubrum*과 미소조류인 *Isochrysis galbana* (KMCC H-2)를 공급하면서 28일 동안 사육한 결과, 작은 치패 그룹(각장 0.46 mm)에서는 *I. galbana*를 공급한 실험구가 좋은 성장을 보였던 반면, 큰 치패 그룹(각장 0.84 mm)에서는 *M. rubrum*을 공급한 실험구가 *I. galbana*를 공급한 실험구에 비해 성장이 좋았다. 따라서 이 광합성 섬모류는 이매패류의 치패 및 모폐와 입이 작은 자어의 먹이생물, rotifer의 영양강화제 및 어류의 천연 착색제로도 활용할 수 있는 잠재력이 있어 해양 생물공학적 활용을 위한 생물재료로서 개발 가능성을 제안한다.

사 사

본 연구는 과학기술부 지정·전라북도 후원에 의한 지역협력센터인 군산대학교 새만금환경연구센터의 2003년도 연구비 지

원으로 수행되었으며, 실험에 많은 도움을 준 군산대학교 해양 정보과학과 김수겸 동학과 미세조류(KMCC H-2)를 제공한 한국미세조류은행 관계자분께 감사드립니다.

참고문헌

- Carver, C. E., A. L. Mallet, R. Warnock, and D. Douglas, 1996. Red-coloured digestive glands in cultured mussels and scallops: the implication of *Mesodinium rubrum*. *J. Shellfish Research*, **15**(2): 191–201.
- Clemens, W. A., 1935. Red “water-bloom” in British Columbia waters. *Nature*, **152**: 473.
- Crawford, D. W., 1989. *Mesodinium rubrum* : The phytoplankton that wasn't. *Mar. Ecol. Prog. Ser.*, **58**: 161–174.
- Crawford, D. W. and T. Lindholm, 1997. Some observations on vertical distribution and migration of the phototrophic ciliate *Mesodinium rubrum* (*Myrionecta rubra*) in a stratified brackish inlet. *Aquatic Microb. Ecol.*, **13**: 267–274.
- Foss, P., T. Storebakken, K. Schiedt, S. Liaaen-Jensen, E. Austreng and K. Streiff, 1984. Carotenoids in diets for salmonids. I. Pigmentation of rainbow trout with the individual isomers of astaxanthin in comparison with canthaxanthin. *Aquaculture*, **41**: 213–226.
- Gustafson, D. E., D. K. Stoecker, M. D. Johnson, W. F. Van Heukelom, and K. Schneider, 2000. Cryptophyte algae are robbed of their organelles by the marine ciliate *Mesodinium rubrum*. *Nature*, **405**: 1049–1052.
- Hayes, G. C., D. A. Purdie and J. A. Williams, 1989. The distribution of ichthyoplankton in Southampton water in response to low oxygen levels produced by a *Mesodinium rubrum* bloom. *J. Fish Biology*, **34**: 811–813.
- Horstman, D. A., 1981. Reported red-water outbreaks and their effects on fauna of the west and south coasts of South Africa, 1959–1980. *Fisheries Bulletin*, Sea Fisheries Institute, Republic of South Africa, **15**: 71–88.
- Jimenez, R. and P. Intriago, 1987. Observations on blooms of *Mesodinium rubrum* in the upwelling area off Ecuador. *Oceanologica Acta*, Supplementum 1987. Proceedings of International Symposium on Equatorial Vertical Motion, Paris, 6–10 May 1985, pp. 145–154.
- Kat, M., 1984. “Red” oysters (*Ostrea edulis* L.) caused by *Mesodinium rubrum* in Lake Grevelingen. *Aquaculture*, **38**: 375–377.
- Kim, H. S., 2002. Population dynamics and environmental conditions for the continuous growth of the phototrophic ciliate, *Mesodinium rubrum* in Korean West Coast. Ph. D. thesis, Kunsan Nat'l. Univ., Kunsan, Korea, 159 pp. (in Korean)
- Kim, H. S., G. Myung, S. K. Jo and W. Yih, 2003. Absorbance spectrum for *Mesodinium rubrum* MR-MAL01, a marine photosynthetic ciliate, fed on photo-adapted cryptophyte. “The Sea” *J. of Kor. Soc. Oceanogr.*, **8**(1): 29–34. (in Korean)
- Lee, J. Y., W. K. Kim, C. S. Lee and Y. J. Park, 2002. Studies on the collection and growth of spat Surf clam, *Spisula sachalinensis* in the tank. *J. of Aquaculture*, **15**(2): 111–117. (in Korean)
- Lindholm, T., 1985. *Mesodinium rubrum*-a unique photosynthetic ciliate. *Advances in Aquatic Microbiology*, **3**: 1–48.
- Lindholm, T., 1992. *Mesodinium rubrum* - a photosynthetic ciliate. (in) *Algae and symbioses: Plants, Animals, Fungi, Virus, Interactions Explored*, (ed) W. Reisser, Biopress Limited, Bristol, pp. 501–514.
- Lindholm, T. and A. C. Mörk, 1990. Depth maxima of *Mesodinium rubrum* examples from a stratified Baltic Sea inlet. *Sarsia*, **75**: 53–64.
- Martin, J. L., F. Page, M. Dowd, M. Ringuette and M. M. LeGresley, 2000. Blooms of *Mesodinium rubrum* and resulting salmon mortalities and stress during 1998 and 1999 in the Bay of Fundy, Eastern Canada. *Harmful Algal Blooms 2000, Proceedings of 9th International Conference on Algal Blooms*, Tasmania, Australia, 6–11 Feb, 173 pp.
- Matsuno, T., S. Nagata, M. Iwahashi, T. Koike and M. Okada, 1979. Intensification of color of fancy red carp with zeaxanthin and myxoxanthophyll, major carotenoid constituents of *Spirulina*. *Nippon Suisan Gakkaishi*, **45**: 627–532 (in Japanese).
- Merchie, G., P. Lavens, Ph. Dhert, M. Dehasque, H. Nelis, A. De Leenheer and P. Sorgeloos, 1995. Variation of ascorbic acid content in different live food organisms. *Aquaculture*, **134**: 325–337.
- Montagnes, D. J. S. and D. H. Lynn, 1989. The annual cycle of *Mesodinium rubrum* in the waters surrounding the Isles of Shoals, Gulf of Maine. *J. Plankton Research*, **11**: 193–201.
- Myung, G., 2004. Ecological factors controlling the interspecific interaction between laboratory strains of *Mesodinium rubrum*, a marine photosynthetic ciliate, and its cryptophyte prey. Ph. M. thesis, Kunsan Nat'l. Univ., Kunsan, Korea, 59 pp. (in Korean)
- Na, G. H., W. G. Jeong and C. H. Cho, 1995. A study on seedling production of Jicon scallop, *Chlamys farreri*. 1. Spawning, development and rearing of larvae. *J. of Aquaculture*, **8**(4): 307–316 (in Korean).
- Nass, K. E., T. Naess and T. Harboe, 1992. Enhanced first feeding of halibut larvae (*Hippoglossus hippoglossus* L.) in green water. *Aquaculture*, **105**: 143–156.
- NFRDI, 1997. Recent red tides in Korean coastal waters. Pusan, 280 pp. (in Korean)
- Packard, T. T., D. Blasco and R. T. Barber, 1978. *Mesodinium rubrum* in the Baja California upwelling system. (in) *Upwelling Ecosystems*, (eds) Boje R. and M. tomczak, Spring-Verlag, Berlin, pp. 73–89.
- Park, J. E., S. B. Hur, 2000. Optimum culture conditions of four species of microalgae as live food from China. *J. of Aquaculture*, **13**(2): 107–117 (in Korean).
- Putt, M., 1990. Abundance, chlorophyll content and photosynthetic rates of ciliates in the Nordic Sea during summer. *Deep Sea Res.*, **37**(11): 1713–1731.
- Reitan K. I., J. R. Rainuzzo, G. Øie and Y. Olsen, 1993. Nutritional effects of algal addition in first-feeding of turbot (*Scophthalmus maximus* L.) larvae. *Aquaculture*, **118**: 257–275.
- Reitan K. I., J. R. Rainuzzo, G. Øie and Y. Olsen, 1997. A review of the nutritional effects of algae in marine fish larvae. *Aquaculture*, **155**: 207–221.

- Romalde, J. L., A. E. Toranzo and J. L. Barja, 1990. Changes in bacterial populations during red tides caused by *Mesodinium rubrum* and *Gymnodinium catenatum* in North West Coast of Spain. *J. Applied Bacteriology*, **68**: 123–132.
- Satoh, H. and K. Watanabe, 1991. A red water-bloom caused by the autotrophic ciliate, *Mesodinium rubrum*, in the austral summer in the fast ice area near Syowa Station, Antarctica with note on their photosynthetic rate. *J. Tokyo Univ. Fish.*, **78**(1): 11–17.
- Son, P. W., D. S. Ha, S. Rho, D. S. Chang, C. H. Lee and D. K. Kim, 1998. Studies on spat production of the Sun and Moon scallop, *Amusium japonicum japonicum* (GMELIN). *J. of Aquaculture*, **11**(3): 371–380 (in Korean).
- Soulsby, P. G., M. Mollowney, G. Marsh and D. Lowthion, 1984. The role of phytoplankton in the dissolved oxygen budget of a stratified estuary. *Water Science Technology*, **17**: 145–156.
- Stoecker, D. K., M. Putt, L. H. Dabis and A. E. Michaels, 1991. Photosynthetic in *Mesodinium rubrum*: species-specific measurements and comparison to community rates. *Mar. Eco. Prog. Ser.*, **73**(2–3): 245–252.
- Stoecker, D. K., K. R. Buck and M. Putt, 1992. Changes in the sea-ice brine community during the spring-summer transition, McMurdo sound, Antarctica. I. Photosynthetic protists. *Mar. Ecol. Prog. Ser.*, **84**(3): 265–278.
- Taylor, F. J. R., D. J. Blackbourn and J. Blackbourn, 1971. The red-water ciliate *Mesodinium rubrum* and its "incomplete symbionts": a review including new ultrastructural observations. *J. Fish. Res. Board. Can.*, **28**: 391–407.
- Yang, M. H., H. S. Kim, J. Y. Lee and C. H. Han, 2001. Artificial mass culture of Flat oyster larvae, *Ostrea denselamellosa*, and collection rates according to various spat collection methods. *Kor. J. Malacol.*, **17**(1): 35–44 (in Korean).
- Yih W. and J. H. Shim, 1997. The planktonic phototrophic ciliate, *Mesodinium rubrum*, as a useful organism for marine biotechnological applications. *J. Mar. Biotechnol.*, **5**: 82–85.
- Yih W., H. S. Kim, H. J. Jeong H. J., G. Myung and Y. G. Kim, 2003. Ingestion of cryptophyte cells by the marine photosynthetic ciliate *Mesodinium rubrum*. (submitted to *Aquatic Microb. Ecol.*)
- Yoon, Y. H., H. K. Rho and Y. G. Kim, 1991. Red tide organisms in the coastal waters of Cheju island, Southern Korea. *Bull. Mar. Res. Inst., Cheju Nat. Univ.*, **15**: 1–14 (in Korean).

원고접수 : 2003년 11월 5일

수정본 수리 : 2004년 4월 19일

책임편집위원 : 김남길